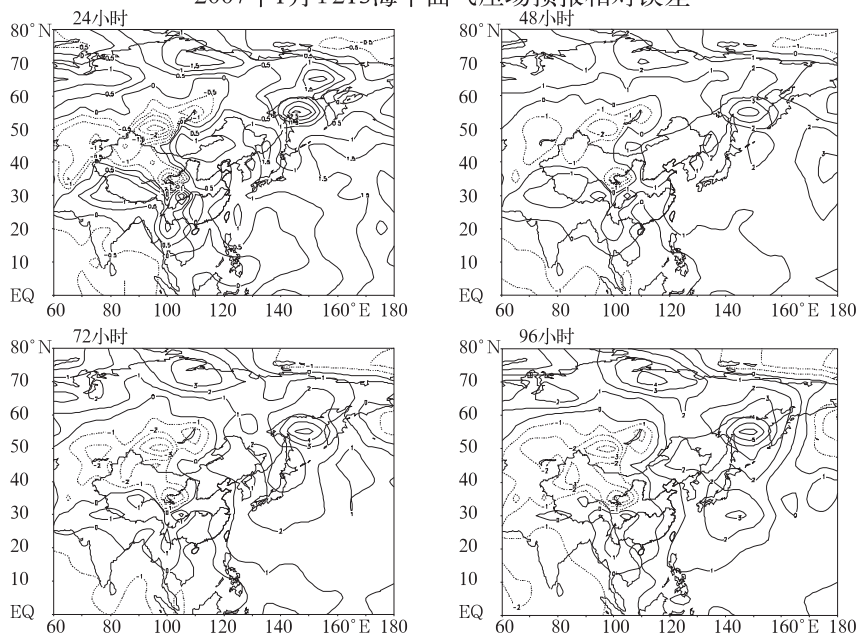


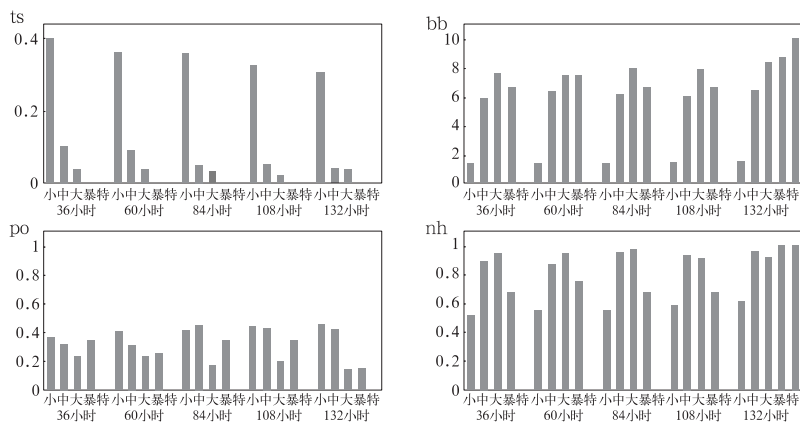
2007 年 1 月 T213 预报与客观分析比较的统计检验参数计算结果

| 层次 | 时效 | 均方根误差 | | | | 距平相关系数 | | | | 技巧评分 | | | | 倾向相关系数 | | | |
|------------------|-----|-------|-------|-------|------|--------|-------|-------|-------|------|------|------|------|--------|-------|-------|-------|
| | | 北半球 | 北美 | 欧洲 | 东亚 | 北半球 | 北美 | 欧洲 | 东亚 | 北半球 | 北美 | 欧洲 | 东亚 | 北半球 | 北美 | 欧洲 | 东亚 |
| 500 hPa 高度 | 24 | 16.1 | 17.8 | 15.8 | 11.1 | 0.978 | 0.966 | 0.982 | 0.928 | 17.7 | 18.9 | 18.1 | 22.9 | 0.943 | 0.926 | 0.979 | 0.886 |
| | 48 | 29.1 | 37.1 | 27.9 | 17 | 0.94 | 0.881 | 0.933 | 0.891 | 28.2 | 31.8 | 27.9 | 29.5 | 0.929 | 0.885 | 0.948 | 0.903 |
| | 72 | 42.1 | 53.8 | 39.5 | 23.8 | 0.878 | 0.757 | 0.881 | 0.829 | 36.7 | 41.6 | 36.1 | 34.8 | 0.891 | 0.8 | 0.939 | 0.872 |
| | 96 | 55.8 | 62.8 | 55.7 | 33.2 | 0.795 | 0.65 | 0.846 | 0.732 | 43.9 | 47.8 | 43.8 | 40.1 | 0.844 | 0.762 | 0.898 | 0.811 |
| | 120 | 69.5 | 69.2 | 77.3 | 42.8 | 0.706 | 0.597 | 0.74 | 0.64 | 50.2 | 50.9 | 52.6 | 45.1 | 0.793 | 0.753 | 0.796 | 0.751 |
| | 144 | 81.4 | 75.5 | 99.2 | 51.1 | 0.611 | 0.533 | 0.563 | 0.558 | 55.5 | 54 | 60.2 | 49.5 | 0.746 | 0.718 | 0.693 | 0.7 |
| | 168 | 92 | 84.4 | 119.5 | 56.7 | 0.511 | 0.453 | 0.396 | 0.497 | 59.6 | 57.9 | 67.2 | 52.3 | 0.697 | 0.639 | 0.603 | 0.691 |
| | 192 | 101.3 | 95 | 131 | 62.1 | 0.434 | 0.343 | 0.354 | 0.459 | 62.8 | 62.2 | 70.5 | 53.9 | 0.665 | 0.573 | 0.614 | 0.667 |
| | 216 | 109.8 | 107.2 | 137.1 | 68.2 | 0.357 | 0.275 | 0.286 | 0.417 | 65.4 | 65.1 | 71.3 | 56.3 | 0.622 | 0.556 | 0.577 | 0.597 |
| | 240 | 114.5 | 113.3 | 138.8 | 69.6 | 0.316 | 0.26 | 0.249 | 0.333 | 67 | 66.5 | 72.5 | 58.3 | 0.595 | 0.581 | 0.522 | 0.559 |
| 500 hPa 温度 | 24 | 0.9 | 1 | 0.9 | 0.8 | 0.971 | 0.954 | 0.968 | 0.936 | 29.7 | 32.2 | 33.6 | 32.7 | 0.951 | 0.941 | 0.968 | 0.903 |
| | 48 | 1.6 | 1.9 | 1.5 | 1.2 | 0.916 | 0.837 | 0.9 | 0.87 | 46.2 | 51.6 | 49.7 | 46.1 | 0.919 | 0.869 | 0.934 | 0.882 |
| | 72 | 2.2 | 2.6 | 2.2 | 1.7 | 0.846 | 0.717 | 0.82 | 0.803 | 55.5 | 60.5 | 60.1 | 52.9 | 0.878 | 0.787 | 0.891 | 0.852 |
| | 96 | 2.8 | 3 | 2.8 | 2.1 | 0.773 | 0.656 | 0.736 | 0.729 | 61.6 | 64.5 | 67.3 | 58 | 0.839 | 0.764 | 0.828 | 0.801 |
| | 120 | 3.3 | 3.4 | 3.5 | 2.5 | 0.686 | 0.598 | 0.659 | 0.637 | 66.1 | 66.8 | 74.2 | 62.4 | 0.79 | 0.722 | 0.738 | 0.743 |
| | 144 | 3.8 | 3.7 | 4.3 | 2.9 | 0.588 | 0.506 | 0.488 | 0.53 | 69.7 | 69.6 | 80.3 | 66.6 | 0.735 | 0.67 | 0.636 | 0.693 |
| | 168 | 4.2 | 4.2 | 4.9 | 3.2 | 0.487 | 0.388 | 0.365 | 0.471 | 72.8 | 72.3 | 85 | 68 | 0.683 | 0.62 | 0.56 | 0.651 |
| | 192 | 4.6 | 4.7 | 5.2 | 3.4 | 0.42 | 0.312 | 0.303 | 0.429 | 74.8 | 74.8 | 86.7 | 70 | 0.648 | 0.559 | 0.546 | 0.631 |
| | 216 | 4.8 | 5.2 | 5.5 | 3.7 | 0.359 | 0.242 | 0.229 | 0.38 | 76.1 | 77.1 | 86.9 | 71.8 | 0.615 | 0.53 | 0.514 | 0.572 |
| | 240 | 5.1 | 5.6 | 5.8 | 3.7 | 0.3 | 0.193 | 0.165 | 0.315 | 77.2 | 77.8 | 87.7 | 73.1 | 0.583 | 0.507 | 0.423 | 0.565 |
| 850 hPa 高度 | 24 | 13.5 | 12.8 | 12.6 | 9.6 | 0.954 | 0.933 | 0.971 | 0.911 | 26.4 | 27.2 | 23.7 | 34.5 | 0.906 | 0.911 | 0.964 | 0.836 |
| | 48 | 21.7 | 22.9 | 21.3 | 13.6 | 0.914 | 0.867 | 0.914 | 0.841 | 37 | 39.2 | 34.5 | 42.3 | 0.914 | 0.881 | 0.946 | 0.835 |
| | 72 | 29.8 | 32 | 29.9 | 17 | 0.854 | 0.729 | 0.851 | 0.771 | 45.5 | 48.7 | 42.6 | 47.3 | 0.888 | 0.791 | 0.922 | 0.81 |
| | 96 | 39.1 | 36.7 | 41.2 | 22.8 | 0.764 | 0.62 | 0.799 | 0.669 | 53.4 | 55 | 50.1 | 52.7 | 0.839 | 0.757 | 0.884 | 0.717 |
| | 120 | 48.5 | 40.3 | 55.4 | 28.9 | 0.655 | 0.609 | 0.674 | 0.562 | 60 | 59.2 | 58.8 | 58.5 | 0.778 | 0.761 | 0.762 | 0.647 |
| | 144 | 56.4 | 44.3 | 68.3 | 33.9 | 0.564 | 0.552 | 0.498 | 0.494 | 65.4 | 63 | 65.7 | 62.5 | 0.726 | 0.736 | 0.662 | 0.611 |
| | 168 | 63 | 49.2 | 81.1 | 36.4 | 0.489 | 0.463 | 0.288 | 0.503 | 69.2 | 66 | 73.5 | 64.8 | 0.683 | 0.637 | 0.537 | 0.629 |
| | 192 | 68.7 | 56.5 | 86.7 | 40.6 | 0.411 | 0.331 | 0.308 | 0.45 | 72.3 | 70.6 | 75.2 | 66.8 | 0.646 | 0.572 | 0.564 | 0.573 |
| | 216 | 74.9 | 62.2 | 91.8 | 45.4 | 0.313 | 0.302 | 0.242 | 0.422 | 75.3 | 74.5 | 76.3 | 69 | 0.581 | 0.545 | 0.525 | 0.513 |
| | 240 | 78 | 64.1 | 92.6 | 45.2 | 0.265 | 0.31 | 0.226 | 0.375 | 76.9 | 75.4 | 77.1 | 70.6 | 0.549 | 0.576 | 0.507 | 0.478 |
| 850 hPa 温度 | 24 | 1.2 | 1.2 | 1.1 | 1.1 | 0.963 | 0.958 | 0.943 | 0.935 | 32.6 | 31.6 | 40.8 | 32.4 | 0.932 | 0.943 | 0.933 | 0.846 |
| | 48 | 1.9 | 2.1 | 1.7 | 1.5 | 0.908 | 0.878 | 0.862 | 0.876 | 47.5 | 47.1 | 55 | 43.2 | 0.904 | 0.905 | 0.889 | 0.836 |
| | 72 | 2.6 | 2.9 | 2.2 | 1.9 | 0.842 | 0.771 | 0.765 | 0.828 | 55.7 | 56.2 | 63.1 | 48.7 | 0.868 | 0.838 | 0.845 | 0.813 |
| | 96 | 3.2 | 3.6 | 2.7 | 2.3 | 0.769 | 0.662 | 0.706 | 0.76 | 61.7 | 62.2 | 68.4 | 53.4 | 0.823 | 0.798 | 0.795 | 0.772 |
| | 120 | 3.7 | 4.1 | 3.1 | 2.7 | 0.701 | 0.6 | 0.641 | 0.686 | 65.7 | 65.1 | 73.4 | 57.7 | 0.783 | 0.782 | 0.743 | 0.726 |
| | 144 | 4.1 | 4.4 | 3.8 | 3.1 | 0.628 | 0.551 | 0.509 | 0.634 | 69.3 | 67.9 | 79.4 | 60.9 | 0.742 | 0.756 | 0.661 | 0.712 |
| | 168 | 4.5 | 4.9 | 4.2 | 3.4 | 0.549 | 0.449 | 0.413 | 0.578 | 72 | 70.6 | 83.2 | 63.3 | 0.702 | 0.652 | 0.621 | 0.678 |
| | 192 | 4.8 | 5.3 | 4.5 | 3.7 | 0.482 | 0.362 | 0.324 | 0.535 | 73.8 | 73.1 | 85.1 | 64.4 | 0.666 | 0.599 | 0.582 | 0.65 |
| | 216 | 5.2 | 5.8 | 4.8 | 4 | 0.424 | 0.274 | 0.246 | 0.501 | 75.5 | 76.1 | 85.7 | 66 | 0.619 | 0.566 | 0.532 | 0.589 |
| | 240 | 5.4 | 6.3 | 4.8 | 4.1 | 0.371 | 0.216 | 0.241 | 0.462 | 76.7 | 77.4 | 86.8 | 67.8 | 0.589 | 0.558 | 0.502 | 0.562 |
| 850 hPa 风 | 24 | 2.7 | 2.5 | 2.9 | 2.3 | 0.948 | 0.936 | 0.925 | 0.88 | 38.8 | 38.7 | 42.3 | 43.7 | 0.948 | 0.945 | 0.947 | 0.873 |
| | 48 | 4.6 | 4.5 | 4.9 | 3.1 | 0.852 | 0.81 | 0.803 | 0.766 | 57 | 57.9 | 59.8 | 57.3 | 0.903 | 0.879 | 0.877 | 0.829 |
| | 72 | 6.1 | 6.1 | 6.4 | 3.8 | 0.74 | 0.651 | 0.694 | 0.675 | 67.7 | 69.2 | 69.5 | 64.6 | 0.847 | 0.771 | 0.821 | 0.786 |
| | 96 | 7.5 | 7.2 | 7.7 | 4.6 | 0.618 | 0.537 | 0.606 | 0.578 | 75 | 75.6 | 75.6 | 70 | 0.787 | 0.735 | 0.783 | 0.712 |
| | 120 | 8.7 | 8 | 9.3 | 5.3 | 0.505 | 0.473 | 0.461 | 0.492 | 79.8 | 78.6 | 82 | 74.2 | 0.724 | 0.711 | 0.676 | 0.654 |
| | 144 | 9.7 | 8.6 | 10.5 | 5.9 | 0.406 | 0.428 | 0.367 | 0.412 | 83.1 | 81.1 | 86.8 | 77.4 | 0.666 | 0.67 | 0.616 | 0.627 |
| | 168 | 10.4 | 9 | 12.1 | 6.3 | 0.328 | 0.378 | 0.244 | 0.376 | 85.9 | 83.6 | 91.4 | 79.9 | 0.63 | 0.604 | 0.537 | 0.613 |
| | 192 | 11 | 9.9 | 12.5 | 6.5 | 0.267 | 0.29 | 0.257 | 0.333 | 87.5 | 85.9 | 91.8 | 81.4 | 0.594 | 0.572 | 0.517 | 0.562 |
| | 216 | 11.5 | 10.6 | 12.6 | 6.8 | 0.223 | 0.261 | 0.245 | 0.304 | 88.7 | 88.3 | 91.7 | 82.5 | 0.55 | 0.543 | 0.515 | 0.503 |
| | 240 | 11.8 | 10.8 | 12.6 | 7.1 | 0.184 | 0.25 | 0.245 | 0.267 | 89.7 | 89 | 92.5 | 83.5 | 0.531 | 0.572 | 0.515 | 0.468 |

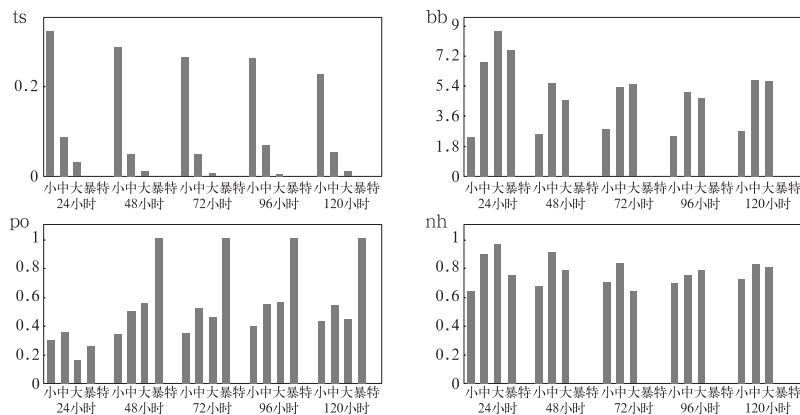
2007年1月T213海平面气压场预报相对误差



2007年1月T213降水预报全国统计检验结果



2007年1月MOS降水预报全国统计检验结果





2007 年 1 月 500hPa 环流指数、环流特征量资料

国家气候中心气候系统诊断预测室

| | | 环流指数 | | | | | | | 西太平洋副热带高压 | | | 东亚槽 | | 极涡 | | | | |
|----------|----|------|------|------|------|------|------|------|-----------|----------|----------|----------|----------|----------|----------|------|------|----|
| | | 候平均 | | | | | | | 面积 指数 | 强度 指数 | 西伸 脊点 | 脊线 位置 | 北界 位置 | 平均 位置 | 平均 强度 | 中心位置 | | 强度 |
| 月平均 | | 1 | 2 | 3 | 4 | 5 | 6 | 经度 | | | | | | | | 纬度 | | |
| 亚欧 地区 | Iz | 1.66 | 1.79 | 1.41 | 1.76 | 1.79 | 1.54 | 1.66 | 21 | 55 | 90 | 15 | 20 | 146 | 92 | 75°W | 80°N | -2 |
| | Im | 0.65 | 0.53 | 0.65 | 0.59 | 0.58 | 0.64 | 0.92 | | | | | | | | | | |
| 亚洲 地区 | Iz | 1.37 | 1.68 | 0.95 | 1.20 | 1.33 | 1.43 | 1.60 | 21 | 55 | 90 | 15 | 20 | 146 | 92 | 75°W | 80°N | -2 |
| | Im | 0.71 | 0.60 | 0.83 | 0.70 | 0.68 | 0.81 | 0.61 | | | | | | | | | | |

2007 年 1 月亚洲地区逐日 500hPa 西风环流指数
及副热带高压脊线 (120°E、130°E、140°E) 位置

中央气象台中期预报科

| 日 | 1 | 2 | 3 | 4 | 5 | 6 | 7 | 8 | 9 | 10 | 11 | 12 | 13 | 14 | 15 | 16 | 17 | 18 | 19 | 20 | 21 | 22 | 23 | 24 | 25 | 26 | 27 | 28 | 29 | 30 | 31 |
|-------|-----|-----|------|-----|-----|-----|-----|-----|----|------|-----|-----|-----|-----|-----|-----|-----|-----|-----|-----|-----|-----|-----|-----|-----|-----|-----|-----|-----|-----|------|
| 指数 | 322 | 300 | 317 | 331 | 340 | 329 | 204 | 124 | 94 | 131 | 173 | 197 | 233 | 237 | 238 | 243 | 247 | 233 | 268 | 251 | 250 | 256 | 239 | 235 | 271 | 321 | 368 | 298 | 242 | 264 | 272 |
| 120°E | / | / | (17) | 18 | 18 | 18 | 17 | 16 | 15 | (15) | 15 | 15 | 15 | 16 | 15 | 15 | 13 | 14 | 13 | 15 | 15 | 14 | 13 | 13 | 13 | / | / | / | / | / | / |
| 130°E | 15 | 15 | 15 | 17 | 17 | 17 | 16 | 16 | 15 | 15 | 15 | 15 | 16 | 16 | 16 | 16 | 14 | 15 | 15 | 15 | 15 | 14 | 14 | 14 | 14 | / | 13 | 12 | 12 | 12 | (12) |
| 140°E | 15 | 15 | 15 | 17 | 17 | 17 | 15 | 15 | 15 | 16 | 15 | 15 | 16 | 15 | 16 | 16 | 15 | 16 | 16 | 15 | 16 | 16 | 15 | 15 | 15 | 15 | 15 | 14 | 14 | 14 | 13 |

新书架

印度洋偶极型异常海温的气候影响

肖子牛编著

该书研究分析了印度洋异常海温的气候特点和季节变化、年际变化和年代际变化特点,证实了印度洋异常海温的偶极型特点,给出了印度洋偶极型异常海温的变化特征,着重分析研究了印度洋偶极型异常海温对亚洲和中国气候的影响,并用数值模式进行了模拟研究,在数值模拟和资料分析的基础上,得到了印度洋偶极型异常海温气候影响的主要特点。研究讨论了印度洋偶极因子与太平洋异常海温的相互关系,年代际变化特征以及维持两者相关关系的原因。有利于理解和揭示印度洋偶极型异常海温的气候影响与太平洋 ENSO 异常海温气候影响的不同机制。

16 开 定价:30.00 元

流体力学(第三版)

余志豪等编著

该书内容包括了一般流体力学的理论基础以及有关地球物理流体力学的内容。对流体动力学方程组(粘黏、湍流及边界层等)作了详细推导,并以小雷诺数流动为例介绍了理论求解的情况,叙述了流体力学实验的相似性和量纲分析。对流体涡旋和波动、层结和热对流、

旋转效应、流体动力不稳定性以及计算流体力学等方面作了简要的概念性的介绍。本书经中国气象局高等学校气象类教材编审领导小组审查,确定为大学本科通用教材。

16 开 定价:36.00 元

地气图预测气候变化的原理和方法(上)

汤口苍等著

该书提出地球系统运转的动力根本上源自地核环流。宇宙磁场通过“变压器效应”,引起地外核环流变化。它操纵着地球表层的各种变化(全球变化),也是气候变化的根本原因。“宇地磁耦合假说”较圆满地解释了 30 亿年来地球大旋回的原因,也解释了高原隆起与夷平的原因及与其相连的季风系统的演变,亦可解释 1 万年来气候变化的原因,避免了“米氏理论”的窘境。

16 开 定价:35.00 元

防雷减灾管理及其法律制度研究

李家启著

该书系统论述了加强防雷减灾管理的形势和要求,介绍了国外防雷减灾管理与法律制度以及我国防雷减灾管理的状况、存在的问题、法律制度构建和对未来发展趋势的展望。我国防雷减灾管理的状况主要是以重庆市防雷减灾管理模式为基础,提出了用法律手段规范防雷减灾管理、用经济手段促进防雷减灾管理、用文化手段加强防雷减灾管理和用技术手段支撑防雷减灾管理。

16 开 定价:40.00 元